

Wilson 比

$$\chi_P = \left(\frac{g^2}{4}\right) \mu_B^2 N(E_F)$$

$$\gamma = \frac{\pi^2 k_B^2}{3} N(E_F)$$

$$\frac{\chi_P}{\gamma} = \frac{3 \mu_B^2}{\pi^2 k_B^2} \text{ 定数}$$

$$R_W = \frac{\chi_P}{\gamma} / \frac{3 \mu_B^2}{\pi^2 k_B^2}$$

自由電子 1

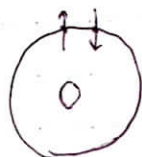
「連続的状態分布」

2.3 遍歴から局在へ テルミ液体、モード絶縁体

$$H = t \sum_i a_{i+1}^\dagger a_i + \sum_k E_k a_k^\dagger a_k$$

重なり積分

クーロン相互作用



$$E_C = \frac{e^2}{4\pi\epsilon_0 r} \sim 10 \text{ eV}$$

10^{-10} m

数 eV $\sim 10 \text{ eV}$

$$H = t \sum_i a_{i+1}^\dagger a_i + U \sum_i n_{i\uparrow} n_{i\downarrow}$$

$$n_i = a_i^\dagger a_i$$

$$= \sum_k E_k a_k^\dagger a_k + U \sum_k n_{k\uparrow} n_{k\downarrow}$$

$$U/t \lesssim 1 \quad U=0 \quad E = E_0 + \sum E_k \delta n_k$$

$$U \neq 0 \quad \tilde{E} = \tilde{E}_0 + \sum \tilde{E}_k \delta n_k$$

$$[1/\tau \propto \omega^2]$$

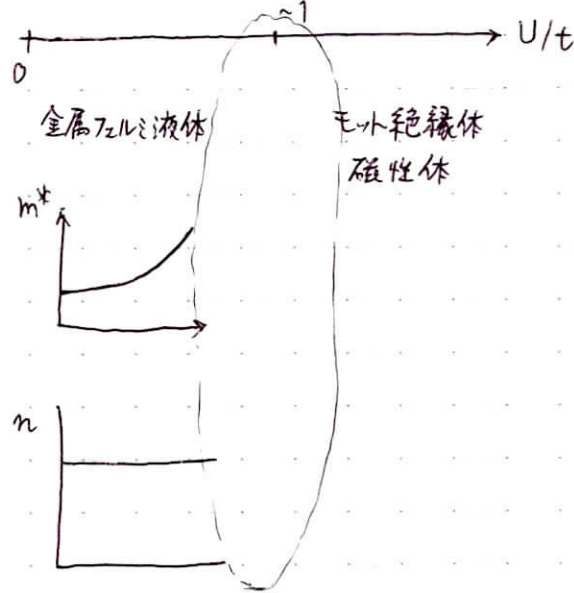
準粒子

$$\tilde{E}_k \rightarrow m^*$$

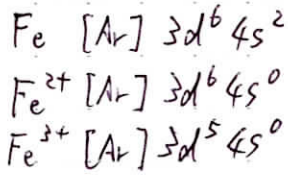
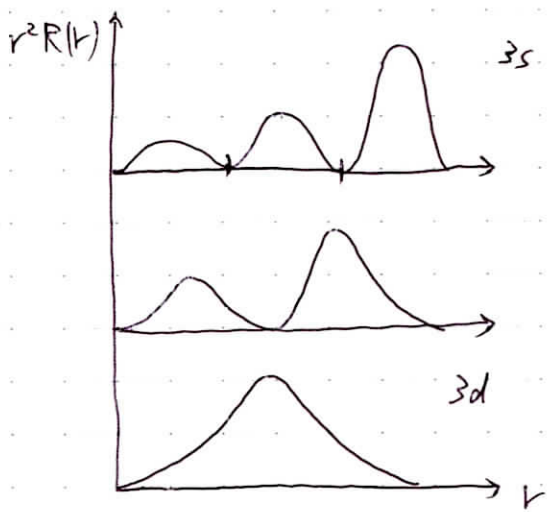
$$R_W \sim 1$$

$U/t \gg 1$ 電子局在

磁性体



$U/t \gtrsim 1$ は U 大 軌道の拡がり小 $3d, 4f$
 τ 大 軌道の拡がり大 s, p



2.4 局在磁気モーメント

 $3d, 4f$ 複数 Ti^{3+} 1個 V^{3+} 2個 Cr^{3+} 3個 Mn 4 Fe^{3+} 5個

5個の電子の電子スピン、軌道モーメントの和

 $3d \quad l=2 \quad 5 \times 2 = 10$ 個の電子収容電子数 $n=1$ $n=2$ $n=5$ $n=6$ $S=1/2, L=2$ $S=1, L=3$ $S=5/2, L=0$ $S=2, L=2$ $J=3/2$ $J=2$ $J=5/2$ スピンのみ $J=4$ $n=9$ $\sum_i S_i = S$ $S=1/2, L=2$ $\sum_i L_i = L$ $J=5/2$ 全角運動量 $J=L+S$ スピン軌道相互作用 入 L, S

Jが保存量

アント則

1 全スピン量子数 S 最大2 全軌道量子数 L 最大3 収容電子数 半分以下 $J=|L-S|$ 半分以上 $J=|L+S|$ $4f \quad l=3$ La^{3+} $4f^0$ Ce^{3+} $4f^1$ Pr^{3+} $4f^2$

Hund 則の物理的起源

- パウリ排他律
- クーロン相互作用
- スピン軌道相互作用

1. S 最大 ならべてスピン平行

2 電子 $\psi_A \quad \psi_B \quad \uparrow\uparrow \quad \uparrow\downarrow$

$$|\uparrow\uparrow\rangle = \frac{1}{\sqrt{2}} \{ \psi_A(1) \psi_B(2) - \psi_A(2) \psi_B(1) \} \alpha(1) \alpha(2)$$

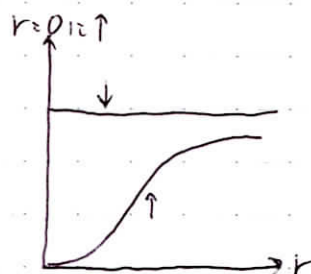
$$|\uparrow\downarrow\rangle = \frac{1}{\sqrt{2}} \{ \psi_A(1) \psi_B(2) \alpha(1) \beta(2) - \psi_A(2) \psi_B(1) \alpha(2) \beta(1) \}$$

$$\langle \uparrow\uparrow | \frac{e^2}{r_{12}} | \uparrow\uparrow \rangle = \underbrace{\int dr_1 dr_2 |\psi_A|^2 |\psi_B|^2 \frac{e^2}{r_{12}}}_{U} - \int dr_1 dr_2 \psi_A^*(1) \psi_B^*(2) \psi_A(2) \psi_B(1) \frac{e^2}{r_{12}}$$

\downarrow
J_{ex} 交換

$$= U - J_{ex}$$

$$\langle \uparrow\downarrow | \frac{e^2}{r_{12}} | \uparrow\downarrow \rangle = U$$

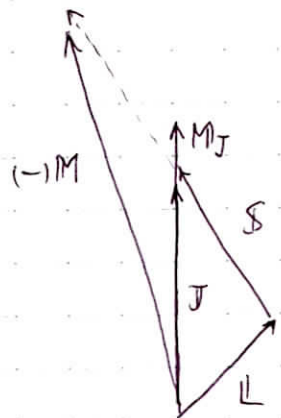


S 最大 Coulomb 最小

2. r が近づく方が Coulomb 小さい

3. スピン軌道相互作用 $\propto L \cdot S$ 10 meV - 1 eV
 L と S 反対向き

角運動量 J 、状態の作る磁気モーメント



$$J = L + S$$

$$(-)M = L\mu_B + gS\mu_B \\ \approx (L + 2S)\mu_B$$

$$M_J = \underbrace{g_L J \mu_B}_{\text{Lande } g \text{ 因子}}$$

$$M_J = \underbrace{g_L J \mu_B, \dots, -g_L J \mu_B}_{2J+1 \text{ 個}}$$

$$\text{Lande の } g \text{ 因子} \quad g_L = \frac{3}{2} + \frac{S(S+1) - L(L+1)}{2J(J+1)}$$

2.5 軌道角運動量の消失

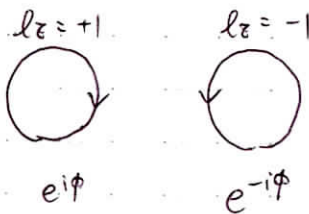
4f 希土類 Nd^{3+}

$$4f^3 \quad L=6 \quad S=\frac{3}{2} \quad J=\frac{9}{2}$$

V^{3+}

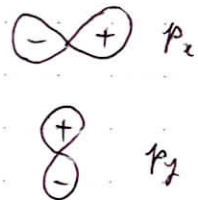
$$3d^2 \quad L=3 \quad S=1 \quad J=2 \\ L=0 \quad S=1 \quad J=1$$

P 軌道

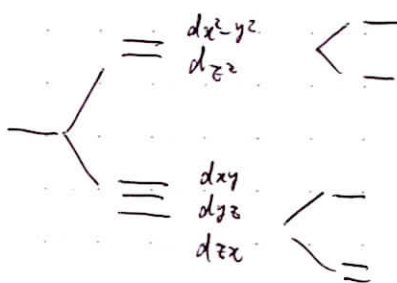


$$\rightarrow e^{i\phi} + e^{-i\phi}, m\phi$$

$$e^{i\phi} - e^{-i\phi}, m\phi$$



d 軌道



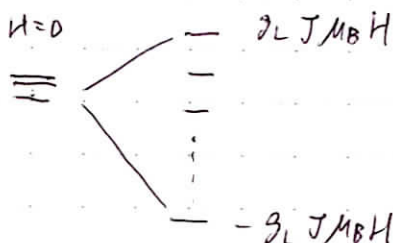
対称数
軌道角運動量消失

2.6 磁場中の磁気モーメント

$$\Delta F = -M \cdot dH$$

H 方向の磁化

$$\underbrace{g_L J M_B, g_L (J-1) M_B, \dots, g_L (-J) M_B}_{2J+1}$$

 $H \neq 0$ 

$$\langle M \rangle = \frac{\sum_{j=-J}^J g_j \mu_B \exp\left(\frac{g_j \mu_B H}{k_B T}\right)}{\sum_{j=-J}^J \exp\left(\frac{g_j \mu_B H}{k_B T}\right)}$$

$$= g J \mu_B B_J \left(\frac{g \mu_B H J}{k_B T} \right)$$

$$B_J(x) = \frac{2J+1}{2J} \coth \frac{2J+1}{2J} x - \frac{1}{2J} \coth \frac{x}{2J} ; \text{ ブリルアン関数}$$

$$x = \frac{g J \mu_B H}{k_B T} \quad t = \frac{2J+1}{2J} E$$

$$x \rightarrow \infty \quad B_J \rightarrow 1 \quad \langle M \rangle \rightarrow g J \mu_B$$

$$x \rightarrow 0 \quad B_J \rightarrow \frac{J+1}{3J} x \quad \langle M \rangle \rightarrow g J \mu_B \frac{J+1}{3J} \frac{g \mu_B H}{k_B T} x$$

$$\coth x \rightarrow \frac{1}{x} + \frac{x}{3}$$

